

## 高三年级物理学科 试题

### 考生须知:

1. 本试题卷共 8 页，满分 100 分，考试时间 90 分钟。
2. 答题前，在答题卷指定区域填写班级、姓名、考场号、座位号及准考证号。
3. 所有答案必须写在答题卷上，写在试卷上无效。
4. 考试结束后，只需上交答题卷。

### 选择题部分

一、选择题 I (本题共 13 小题，每小题 3 分，共 39 分。每小题列出的四个备选项中只有一个是符合题目要求的，不选、多选、错选均不得分)

1. 下列单位用国际单位制中的基本单位表示正确的是

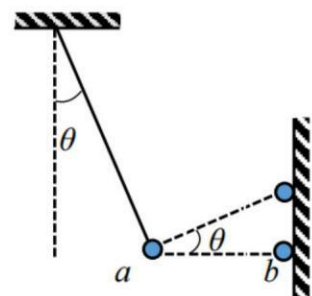
A.  $1\text{Wb} = 1\text{T} \cdot \text{m}^2$       B.  $1\text{F} = 1\frac{\text{A}^2\text{s}^4}{\text{kg}\text{m}^2}$       C.  $1\text{H} = 1\frac{\text{Vs}^2}{\text{C}}$       D.  $1\text{p}_a = 1\frac{\text{N}}{\text{m}^2}$

2. 2023 年 5 月 30 日上午 9 时 31 分，搭载神舟十六号载人飞船的长征二号 F 遥十六运载火箭在酒泉卫星发射中心成功发射。历时约 6.5 小时后，成功对接于空间站天和核心舱径向端口。3 名航天员随后从神舟十六号载人飞船进入空间站天和核心舱，并计划出舱完成空间站维护维修等任务。下列说法正确的是

- A. 对接完成后，以空间站组合体为参考系，神舟十六号飞船是静止的
  - B. 研究宇航员在舱外的活动姿态时，宇航员可以视为质点
  - C. 研究神舟十六号飞船绕地球运行的周期时，飞船不可以视为质点
  - D. 题中 9 时 31 分是指时间间隔
3. 某运动员将质量为 400g 的足球踢出，足球在空中飞行的最大高度为 4.5m，在最高点的速度为 15 m/s， $g$  取  $10\text{m/s}^2$ ，忽略空气阻力。足球从静止开始运动到最高点的过程中，下列说法正确的是
- A. 足球机械能守恒
  - B. 合外力对物体做功 18J
  - C. 运动员对足球做功 63J
  - D. 物体重力势能增加 63J

4. 如图所示，用与竖直方向成  $\theta$  角 ( $\theta < 45^\circ$ ) 的倾斜绝缘轻绳和绝缘竖直墙壁上可上下移动的带电小球 b 共同固定一个带正电小球 a，小球 a 与小球 b 在同一水平线上，小球 b 对小球 a 的作用力为  $F_1$ 。现将小球 b 沿绝缘竖直墙壁竖直平面向上移动一定距离并调整小球 b 的电荷量，使小球 a、b 连线与水平方向成  $\theta$  角且保持小球 a 在原位置不动，此时小球 b 对小球 a 的作用力为  $F_2$ ，则

- A.  $F_1 < F_2$
- B. 应减小小球 b 的电荷量
- C. 轻绳 a 上的拉力始终大于球的重力
- D. 轻绳 a 上的拉力变为原来的  $\frac{F_2^2}{F_1^2}$  倍



第 4 题图

5. 如图所示，炮弹以速度  $v$  射出炮筒，方向与水平方向夹角为  $\theta$ ，若炮弹飞出后始终受到与运动方向相反，大小与速度满足  $f=kv$  的空气阻力（ $k$  为常数），考虑炮弹从出发到落回出发点等高处的过程，下列说法正确的是

- A. 上升阶段和下降阶段用时相等
- B. 到出发点等高处时速度与水平方向夹角大于  $\theta$
- C. 到出发点等高处时速度与水平方向夹角小于  $\theta$
- D. 若  $k$  足够大，可能出现炮弹竖直下落的情况



第 5 题图

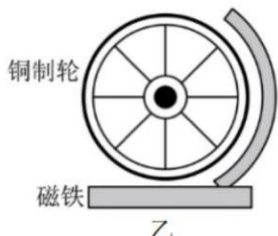
6. 我国古代春秋时期的管仲提出了系统的音乐理论“五度相生律”，把一组音按音调高低的次序排列起来就成为音阶，分别称作宫、商、角、徵、羽，若以频率  $X$  为基准音，下表列出了此时音阶中各音的频率，假设一架古琴同时弹出音阶中的“商”与“徵”，则

音阶名称	宫	商	角	徵	羽
频率	$X$	$\frac{9}{4}X$	$\frac{81}{32}X$	$\frac{3}{2}X$	$\frac{27}{16}X$

- A. 频率之比为 5:3
- B. 在空中传播的波长之比为 2:3
- C. 在空中传播的速度不同
- D. 两个音可以在空中形成干涉

7. 如图甲，在天和核心舱中，我国航天员锻炼使用的“太空自行车”是利用弹力带增加阻力，通过克服弹力带的阻力踩动踏板，并记录相关数据。某同学根据电磁学的相关知识，设计了这样的电磁版太空单车原理图

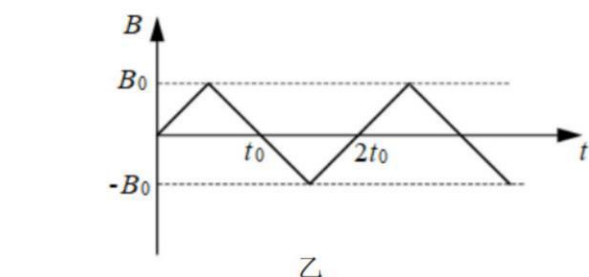
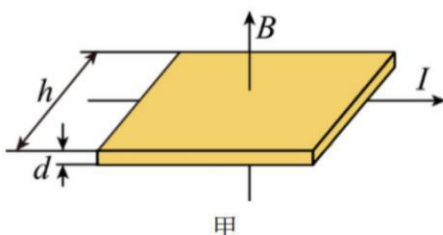
（图乙）：在铜质轮子的外侧有一些磁铁（与轮子不接触），人在健身时带动轮子转动，磁铁与轮子间的距离可以调整，则下列说法正确的是



第 7 题图

- A. 若轮子用不可磁化但可导电的材料替换，则不能达到预期效果
- B. 电磁版单车的轮子受到的阻力大小与其材料电阻率无关
- C. 若磁铁与轮子间距离变大，则通过降低轮子转速可以达到相同的锻炼效果
- D. 用这两种不同原理的太空单车锻炼，最终转化的能量形式是相同的

8. 如图甲，宽度为  $h$ ，厚度为  $d$  的霍尔元件水平放置，直线型磁场竖直向上穿过元件，其磁感应强度  $B$  与时间的关系如图乙所示，当恒定电流  $I$  水平向右流过元件时，在它的两个面之间会产生感应电动势，下列说法正确的是

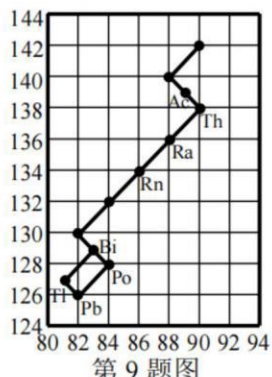


第 8 题图

- A. 垂直于  $B$  的两表面间产生交变电动势
- B. 垂直于  $I$  的两表面间产生恒定电动势
- C. 增大宽度  $h$ ，减小厚度  $d$  均可提高霍尔元件两侧面间的电动势最大值
- D. 增大导体中自由电子数密度，减小恒定电流  $I$  均可降低霍尔元件两侧面间的电动势最大值

9. 自然界中一些放射性重元素往往会发生一系列连续的递次衰变，又称为放射系或衰变链。每个放射性衰变系都有一个半衰期很长的始祖核素，经过若干次连续衰变，直至生成一个稳定核素。钍 Th 系衰变的示意图如图所示，横坐标为质子数，纵坐标为中子数。下列判断中正确的是

- A. 该图中的始祖元素质量数为 228
- B. 最终生成的稳定核素为  $^{208}_{81}\text{Ti}$
- C. 衰变全过程最终生成稳定核素，共有四种不同的衰变路径
- D. 衰变全过程最终生成稳定核素，共发生了 6 次  $\alpha$  衰变，4 次  $\beta$  衰变



第 9 题图

10. “天问一号”顺利进入火星的停泊轨道，此轨道稳定在近火点 280 千米的椭圆轨道，由于科学探测的需要，需将“天问一号”在近火点从椭圆轨道调整为贴近火星表面的圆轨道，若引力常量已知，测得此圆轨道的周期和轨道半径，以及原椭圆轨道的周期，则下列物理量可准确或近似求出的个数是

- ①“天问一号”的质量；②火星的质量；③火星的密度；④原椭圆轨道远火点到火星距离。

- A. 1 个
- B. 2 个
- C. 3 个
- D. 4 个

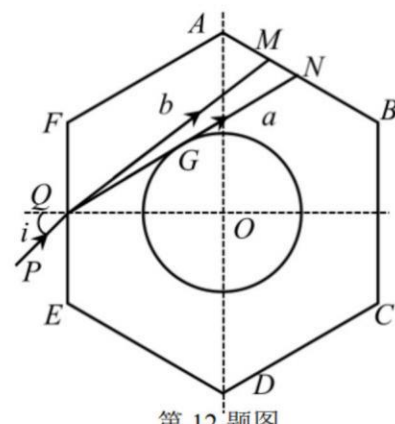
11. 潮汐发电是水力发电的一种。在有条件的海湾建筑堤坝，围成水库，水库水位与外海潮位之间形成一定的潮差，从而可驱动水轮发电机组发电。现在一水面面积约为  $6.0 \times 10^7 \text{ m}^2$  的海湾建潮汐电站，涨潮和退潮后水库水位与外海潮位之间形成 3m 的潮差，发电过程中重力势能转化为电能的效率是 20%，每天涨退潮两次，试估算该电站一天利用退潮发电的平均功率为



第 11 题图

- A.  $1.25 \times 10^7 \text{ W}$
- B.  $2.5 \times 10^7 \text{ W}$
- C.  $1.25 \times 10^8 \text{ W}$
- D.  $2.5 \times 10^8 \text{ W}$

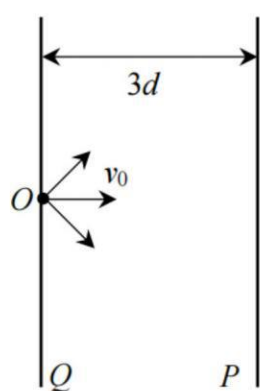
12. 某种透明材料制成的外为正六边形，内为圆的空心柱体，其横截面如图所示。 $O$  为正六边形  $ABCDEF$  的中心和内圆的圆心， $Q$  为  $EF$  的中点， $OQ$  为圆半径的两倍。现有一束复色光沿纸面内  $PQ$  方向以入射角  $i=45^\circ$  从外球面上  $Q$  点射入，分解成  $a$  光和  $b$  光，分别射到  $AB$  边的  $N$ 、 $M$  两点上，其  $a$  光经折射后恰好与内圆相切于  $G$  点。下列分析判断正确的是



第 12 题图

- A.  $a$  光的光子动量小于  $b$  光的光子动量
- B.  $a$  光通过  $QN$  的时间小于  $b$  光通过  $QM$  的时间
- C. 增大入射角  $i$ ， $b$  光可能在  $AB$  边上发生全反射
- D. 当入射角变为  $30^\circ$  时， $a$  光恰好在内圆面上发生全反射

13. 如图，空间中存在水平向左的匀强电场，场强大小为  $E = \frac{mv_0^2}{8qd}$ 。两块间距为  $3d$  的足够大平行金属板  $P$ 、 $Q$  竖直置于电场中，两板内侧均匀涂有荧光物质。 $Q$  板上某处有一粒子源  $O$ ，可以向各个方向均匀发射质量为  $m$ 、电荷量为  $+q$ 、速度大小为  $v_0$  的带电粒子，粒子撞击到荧光物质会使其发出荧光。不计粒子重力，则下列说法正确的是



- A. 初速度方向与竖直方向成  $60^\circ$  角的粒子打在  $Q$  板上最远处
- B. 带电粒子在电场中运动的时间均小于  $\frac{4\sqrt{3}d}{v_0}$
- C.  $P$  板上的发光面积为  $12\pi d^2$

第 13 题图

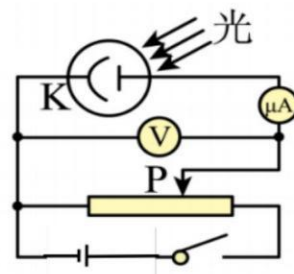
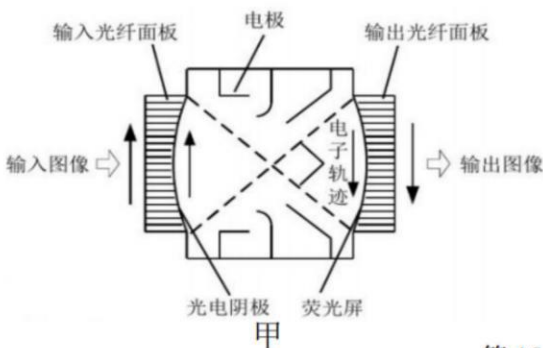
D.  $Q$ 板上的发光面积为  $12\pi d^2$

二、选择题II（本题共2小题，每小题3分，共6分。每小题列出的四个备选项中至少有一个是符合题目要求的。全部选对的得3分，选对但不选全的得2分，有选错的得0分）

14. 下列选项正确的是

- A. 全息照相术、3D电影等都是光的偏振现象的应用
- B. 在无线电波的接收过程中要经过调谐和解调等过程。
- C. 红外线的显著作用是热效应，温度较低的物体不能辐射红外线
- D. 水黾可以停在水面是水的表面张力的表现

15. 微光夜视仪主要由微光光学系统和像增强器等部分组成。由目标物反射的自然微光经微光光学系统成像，输入到像增强器的光电阴极面上，激发出光电子，光电子被加速、聚焦后在荧光屏上显示增强的目标图像，输出给人眼。甲图中为微光夜视仪像增强器示意图，乙图为光电阴极激发表达式并被加速的简化原理图，阴极K相当于像增强器的光电阴极，则



第15题图

- A. 目标物反射的可见光能在荧光屏上成像，则目标物辐射的红外线也一定能在荧光屏上成像
- B. 将像增强器阴极K换成截止频率更小的材料，可提高微光夜视仪的荧光屏的亮度
- C. 乙图中保持入射光强度不变，仅提高入射光频率，电流表示数变小
- D. 红外夜视仪与微光夜视仪工作原理相同

## 非选择题部分

三、非选择题（本题共5小题，共55分）

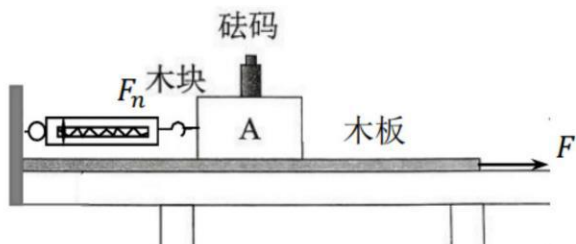
16. 实验题（本题共3小题，共14分）

I. (4分) 小明用弹簧测力计，若干重均为2.00 N的砝码，设计了如图1所示的测量木块和木板间动摩擦因数 $\mu$ 的实验方案。

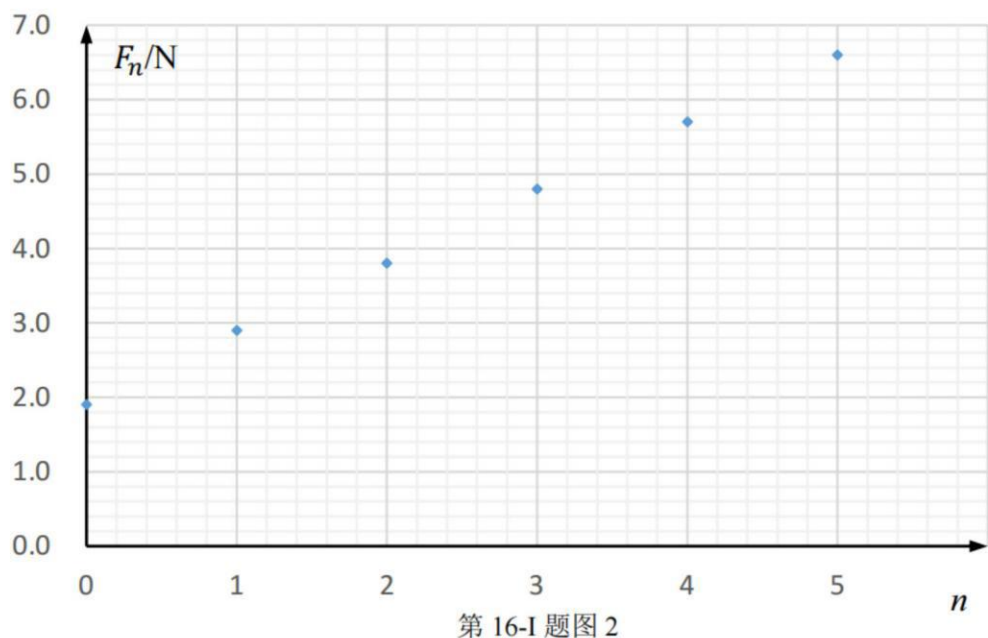
(1) 关于本实验，下列说法正确的是

- A. 测力计的外壳不能碰到木板
- B. 木板必须调整到水平
- C. 作用在木板上的力必须恒定
- D. 动摩擦因数 $\mu$ 越小，可以测量得越准

(2) 在木块A上放置 $n$ ( $n=0, 1, 2, 3, 4, 5$ )个砝码，当木块相对木板发生运动时，记录弹簧测力计对应示数 $F_n$ 。测量数据在 $F_n - n$ 坐标上标出，如图2所示，则用作图法得出木块A和木板间的动摩擦因数 $\mu = \underline{\hspace{2cm}}$ （保留2位有效数字）。



第16-I题图1



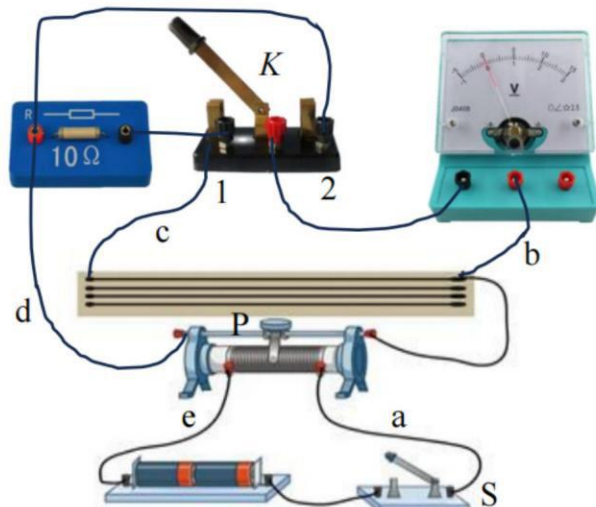
第 16-I 题图 2

II. (2 分) 关于实验, 下列说法正确的是

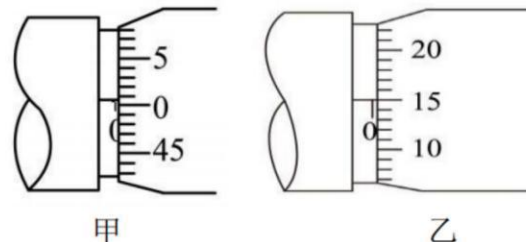
- A. 通过多次测量取平均, 可以减小系统误差
- B. 在显微镜下可以观察到煤油中小粒灰尘的布朗运动, 这说明煤油分子在做无规则运动。
- C. 在“探究气体等温变化的规律”的实验中, 在橡胶套处接另一注射器, 快速推动该注射器柱塞以改变空气柱体积
- D. 在“探究弹簧弹力与形变量的关系”实验中, 为了提高测量弹簧伸长量的精度, 选用的砝码质量越大越好

III. (8 分) 小明用螺旋测微器、米尺、电源  $E$ 、电压表、定值电阻  $R_0$ (阻值  $10.0\Omega$ )、滑动变阻器  $R$ 、单刀双掷开关  $K$ 、开关  $S$ 、导线若干等器材, 连接成如图 1 所示的测量电路, 测量某金属丝(阻值约十几欧姆)的电阻率。

(1) 测量电路图中标明的连线 a、b、c、d 和 e 段中, 其中错误的一段是\_\_\_\_\_;



第 16-III 题图 1

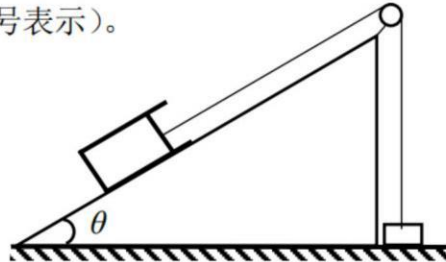


第 16-III 题图 2

- (2) 改正错误连线, 将 K 与 1 端相连, 调节滑动变阻器滑片, 此时电压表读数记为  $U_1$ ; 将 K 与 2 端相连, 此时电压表读数记为  $U_2$ 。如果电压表内阻可视为无穷大, 由此得到金属丝的电阻  $r = \underline{\hspace{2cm}}$ 。(均用  $R_0$ 、 $U_1$  和  $U_2$  表示)
- (3) 调节滑片 P, 重复(2)的测量过程, 得到多组测量数据, 然后以  $U_1$  为横坐标,  $U_2$  为纵坐标, 通过作图得到斜率  $k = 1.72$ , 则金属丝的电阻  $r = \underline{\hspace{2cm}} \Omega$ 。(保留 2 位有效数字)
- (4) 用米尺测得金属丝长度  $L = 50.00\text{cm}$ 。用螺旋测微器测量金属丝的直径, 首先, 调节螺旋测微器, 拧动微调旋钮使测微螺杆和测砧相触时, 发现固定刻度的横线与可动刻度上的零刻度线未对齐, 如图 2 甲所示, 该示数为  $\underline{\hspace{2cm}}$  mm; 螺旋测微器在夹有金属丝时的示数如图 2 乙所示, 该示数为  $\underline{\hspace{2cm}}$  mm, 则金属丝的直径  $d = \underline{\hspace{2cm}}$  mm, 待测金属丝所用材料的电阻率  $\rho = \underline{\hspace{2cm}} \times 10^{-7} \Omega \cdot \text{m}$ 。(保留 1 位有效数字)

17. (8 分) 如图所示, 倾斜角为  $\theta$  的斜面上固定一横截面积为  $S$  且内壁光滑的导热汽缸, 汽缸内用质量为  $M$  的活塞封闭一定质量理想气体, 活塞通过轻绳跨过光滑的定滑轮连接了一个质量为  $m$  的物体, 滑轮左侧细绳与斜面平行, 右侧细绳竖直。开始时, 轻绳恰好处于伸直状态, 汽缸内气体温度为  $T_0$ , 大气压强为  $P_0$ 。现缓慢降低汽缸内周围环境的温度。

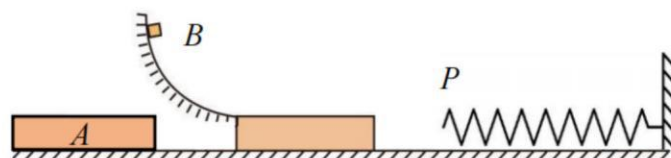
- (1) 求物体刚离开地面时缸内气体的温度;
- (2) 从开始降低温度到活塞缓慢向下移动距离  $x$  时, 缸内体共  $\underline{\hspace{2cm}}$  (选填吸收或放出) 热量  $Q$ , 求此过程中缸内气体内能的变化量 (用题中所给的符号表示)。



第 17 题图

18. (11 分) 如图所示, 物块 A 置于水平地面上, 固定光滑弧形轨道末端与 A 的上表面所在平面相切, 固定的竖直挡板与弹簧一端连接, 另一端 P 自由。作用在 A 上的水平外力, 使 A 以速度  $v_0$  向右做匀速直线运动。当 A 的左端经过轨道末端时, 从弧形轨道某处无初速度下滑的滑块 B 恰好到达最低点, 并以水平速度  $3v_0$  滑上 A 的上表面, 同时撤掉外力, 两者共速时物块 A 恰好与弹簧接触。已知  $v_0 = 0.3\text{m/s}$ ,  $m_A = m_B = 1\text{kg}$ , A 与地面间动摩擦因数  $\mu_1 = 0.1$ , B 与 A 间动摩擦因数  $\mu_2 = 0.4$ , 弹簧劲度系数  $k = 200\text{N/m}$ , 始终处在弹性限度内, 弹簧的弹性势能  $E_p$  与形变量  $x$  的关系为  $E_p = \frac{1}{2}kx^2$ 。求:

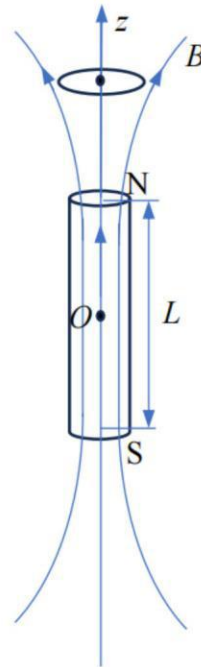
- (1) B 下滑的高度  $H$ ;
- (2) A 刚接触弹簧时的速度  $v_1$  以及 B 刚滑上 A 时 A 右端距 P 的距离  $x_1$ ;
- (3) A 与弹簧接触以后, B 与 A 之间即将相对滑动时弹簧的压缩量  $x_2$  及此时 A 的速度  $v_2$ 。



第 18 题图

19. (11 分) 长为  $L$ 、竖直放置的磁铁产生稳恒磁场分布如图所示，其中磁铁内的磁场可视为匀强磁场，方向竖直向上；建立以磁铁中心为原点  $O$ ，竖直向上为  $z$  轴的坐标，则在磁铁上方和下方区域，其磁感应强度大小分布相同，并可分为轴向分量  $B_z$  和径向分量  $B_r$ ， $B_r$  垂直  $z$  轴对称分布。在  $-\frac{L}{2} < z < \frac{L}{2}$  范围内，磁铁外部区域磁感应强度可近似为零。一圆心位于  $Oz$  轴上、半径为  $r_0$ 、电阻值为  $R$  的圆环（其平面垂直  $Oz$  轴），从  $z=L$  处开始静止下落，到  $z=-\frac{L}{2}$  处（刚进入下方区域磁场），速度开始保持不变。已知在  $-L \leq z \leq -\frac{L}{2}$  和  $\frac{L}{2} \leq z \leq L$  范围内，圆环所在处的磁感应强度径向分量大小  $B_r = B_0$ ，在运动过程中圆环平面始终垂直  $Oz$  轴，不计空气阻力。求：

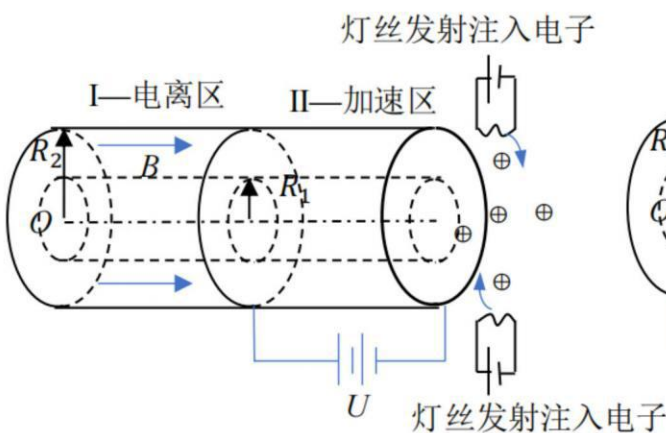
- (1) 线圈在  $z = -\frac{L}{2}$  处时的电流及方向（从下往上看）；
- (2) 线圈从  $z=L$  运动到  $z=-L$  的过程中产生的焦耳热  $Q$ ；
- (3) 线圈从  $z=L$  运动到  $z=-L$  所用时间  $t$ 。



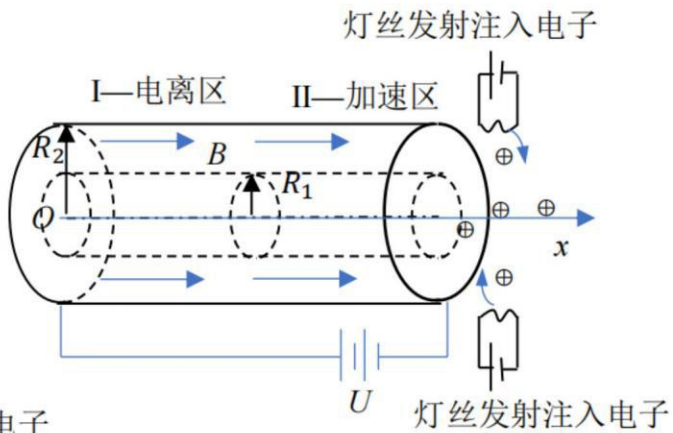
第 19 题图

20. (11 分) 离子推进技术在太空探索中有广泛的应用, 其简化装置为如图 1 所示, 它由长  $L=1\text{m}$ 、内外半径分别为  $R_1=0.1\text{m}$  和  $R_2=0.3\text{m}$  的同轴圆柱面和半径为  $R_2$  的两圆形电极组成, 并将其分为长度相同的电离区 I 和加速区 II。电离区 I 充有稀薄的铯气体, 仅存在方向沿轴向的匀强磁场, 内圆柱表面材料的逸出功  $W=5.0\text{eV}$ , 在波长  $\lambda=124\text{nm}$  的光照射下可以持续向外发射电子, 电子碰撞铯原子, 使之电离成为一价正离子。I 区产生的正离子(初速度可视为零)进入电势差  $U=3.64\text{kV}$  的加速区 II, 被加速后从右侧高速喷出产生推力。在出口处, 灯丝 C 发射的电子注入正离子束中和离子使之成为原子。已知铯离子质量  $M=2.2 \times 10^{-25}\text{kg}$ , 电子电荷量  $e = 1.6 \times 10^{-19}\text{C}$ , 电子质量  $m = 9 \times 10^{-31}\text{kg}$ , 普朗克常量与光速乘积  $hc \approx 1.24 \times 10^{-6}\text{eV}\cdot\text{m}$ 。不计离子间、电子间相互作用。

- (1) 求内圆柱表面发射电子的最大初速度  $v_m$ ;
- (2) 若 I 区所有光电子均不会碰到外圆柱面, 求磁感应强度的最大值  $B_m$ ;
- (3) 若单位时间内有  $N=10^{18}$  个铯离子进入区域 II, 试求推进器的推力  $F$ ;
- (4) 为提高电离效果, 一般不分 I 区和 II 区, 在整个圆柱面区域内加载方向沿轴向的匀强磁场和同样的加速电压  $U$ , 如图 2 所示。光电子在磁场中旋转的同时被加速, 电离出更多的离子。以圆柱面中心轴线为  $x$  轴、左侧电极圆心  $O$  为原点, 建立坐标  $Ox$ , 若刚被电离的离子初速度可近似为零, 单位时间内离子数密度  $n = k \sqrt{(1 - \frac{x}{L})}$ , 其中  $k = 10^{20}/(\text{m}^3 \cdot \text{s})$  (垂直  $x$  轴截面分布情况相同), 试求推进器的推力  $F'$ 。



第 20 题图 1



第 20 题图 2